

岩手大学 学生員 佐藤修一  
北海道大学 正員 渡辺 駿  
岩手大学 正員 宮本 裕

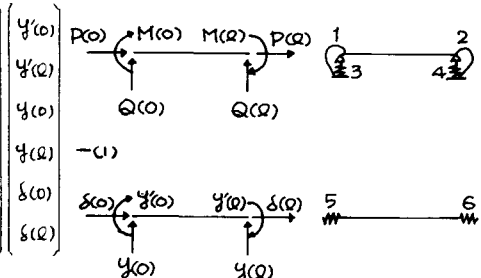
弾性支点および弾性床を有する構造物の応力解析は、ケーブル、地盤反力等を考慮した場合に有効な方法である。そこで、変形法を用いて影響線を求め、多質点モデルの応答解析を試みた。応答解析には Newmark-B 法 ( $B = 1/4$  の平均加速度法) を用いた。

### 1. 刚性マトリックス

#### (1) 弾性支点を有するラーメン部材の剛性マトリックス

弾性支点として回転に抵抗するばかりでなく、変位に抵抗するばかりを考える。そうすると剛性マトリックスの対角要素にそれぞれのねじねじ度数を加えても、もとより弾性支点を考慮した部材の剛性マトリックスとなる。式(1)の  $K_1, K_2, \dots$  はそれを示す。以下の型式 1, 2, ... はねじねじ度数である。

$$\begin{array}{c} M(O) \\ M(Q) \\ Q(O) \\ Q(Q) \\ P(O) \\ P(Q) \end{array} = \left[ \begin{array}{cccccc} \frac{4EI}{\delta^2} + K_1 & \frac{2EI}{\delta^2} & \frac{6EI}{\delta^2} & -\frac{6EI}{\delta^2} & 0 & 0 \\ \frac{2EI}{\delta^2} + K_2 & \frac{6EI}{\delta^2} & -\frac{6EI}{\delta^2} & 0 & 0 & 0 \\ \frac{12EI}{\delta^2} + K_3 & -\frac{12EI}{\delta^2} & 0 & 0 & 0 & 0 \\ \frac{12EI}{\delta^2} + K_4 & 0 & 0 & 0 & 0 & 0 \\ \frac{AE}{\delta} + K_5 & -\frac{AE}{\delta} & 0 & 0 & 0 & 0 \\ \frac{AE}{\delta} + K_6 & 0 & 0 & 0 & 0 & 0 \end{array} \right] \text{SYM.}$$

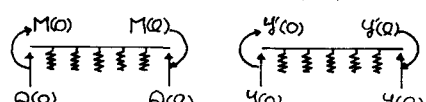


#### (2) 弾性床上筋の剛性マトリックス (質量間に荷重のない場合)

$$\begin{array}{c} Q(O) \\ M(O) \\ \Theta(Q) \\ M(Q) \end{array} = \frac{EI}{sh^2\beta L - \sin^2\beta L} \left[ \begin{array}{cccc} 4B^3(\sin\beta L \cos\beta L) & -2B^3(sh^2\beta L + \sin^2\beta L) & -4B^3(\sin\beta L ch\beta L) & -4B^3(\sin\beta L sh\beta L) \\ 2B(sh\beta L ch\beta L - \sin\beta L \cos\beta L) & 4B^3 sh\beta L ch\beta L & -2B(\cos\beta L sh\beta L - \sin\beta L ch\beta L) & 4B^3(\cos\beta L sh\beta L + ch\beta L sh\beta L) \\ 4B^3(\cos\beta L sh\beta L + ch\beta L sh\beta L) & 2B^2 ch^2\beta L & 4B^3(\cos\beta L sh\beta L + ch\beta L sh\beta L) & 2B^2 sh^2\beta L \\ 2B(ch\beta L ch\beta L - \cos\beta L sh\beta L) & -2B^2 sh^2\beta L & 2B(ch\beta L ch\beta L - \cos\beta L sh\beta L) & -2B^2 ch^2\beta L \end{array} \right] \text{SYM.}$$

$$\omega = \sqrt{\frac{k}{4EI}}$$

$$sh\beta L = \sinh\beta L \quad ch\beta L = \cosh\beta L$$



### 2. 1質点 $a$ 場合の絶対加速度応答

#### (1) Duhamel 積分

図1のような1質点の力学モデルにおいて質点の質量  $m$ 、弾性係数を  $k$ 、減衰係数を  $c$  とし、時刻  $t$  における質点の変位を  $y(t)$ 、地盤の変位を  $\ddot{x}(t)$  とするとき式(3)が

運動方程式が成立する。

$$m\ddot{y}(t) + c\dot{y}(t) + ky(t) = -m\ddot{x}(t) \quad (3)$$

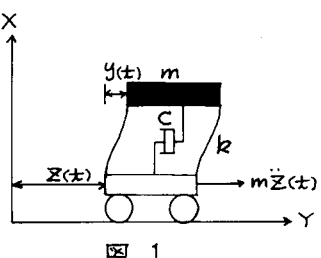
$$\omega = \sqrt{\frac{k}{m}}, \quad h = \frac{c}{2m\omega} \text{ とすると式(3)は}$$

$$\ddot{y}(t) + 2h\omega\dot{y}(t) + \omega^2 y(t) = -\ddot{x}(t) \quad (4)$$

式(4)の厳密解は Duhamel 積分であらわされ、絶対加速度

$\dot{y}(t) + \ddot{x}(t)$  は式(5)で与えられる。

$$\dot{y}(t) + \ddot{x}(t) = \frac{\omega}{\sqrt{1-h^2}} \int_0^t \ddot{x}(\tau) e^{-h\omega(t-\tau)} \cos \left\{ \sqrt{1-h^2} \omega t (t-\tau) + \tan^{-1} \frac{2h-1}{2\sqrt{1-h^2}} \right\} d\tau \quad (5)$$



(2) Newmark  $\alpha$  法 ( $\beta = 1/4$  の平均加速度)

式(4)と次式より時刻  $t$  と時刻  $t+\Delta t$  の関係を導き、 $\gamma = 1/2$ ,  $\beta = 1/4$  とおくと式(6)が得られる。

$$\ddot{y}(t+\Delta t) = \ddot{y}(t) + (1-\gamma)\dot{y}(t)\Delta t + \gamma\ddot{y}(t+\Delta t)\Delta t$$

$$y(t+\Delta t) = y(t) + \dot{y}(t)\Delta t + (\frac{1}{2} - \beta)\ddot{y}(t)\Delta t^2 + \beta\ddot{y}(t+\Delta t)\Delta t^2$$

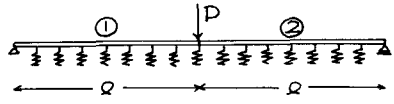
$$\begin{bmatrix} y(t+\Delta t) \\ \dot{y}(t+\Delta t) \\ \ddot{y}(t+\Delta t) \end{bmatrix} = \frac{1}{8+2\omega_0\Delta t(4h-\omega_0\Delta t)} \begin{bmatrix} 8(1+h\omega_0\Delta t) & 4\omega_0\Delta t(2+h\omega_0\Delta t) & 2\omega_0\Delta t \\ -4\omega_0^2\Delta t & 2(4-\omega_0^2\Delta t) & 4\omega_0\Delta t \\ 8\omega_0^2 & -8\omega_0(2h+\omega_0\Delta t) & -2\omega_0\Delta t(4h+\omega_0\Delta t) -8 \end{bmatrix} \begin{bmatrix} y(t) \\ \dot{y}(t) \\ \ddot{y}(t) \end{bmatrix} \quad (6)$$

$h = \Delta t$ ,  $z = y(0)$ ,  $\dot{y}(0)$ ,  $\ddot{y}(0)$ .  $\ddot{y}(t)$  既知である  $\ddot{y}(t+\Delta t)$  を求める  $y$ ,  $\dot{y}$ ,  $\ddot{y}$  が得られる。

計算され、絶対加速度が得られる。

### 3. 数値計算例

#### (1) 弹性床上荷の応力計算(カーリング理論値)



部材 左端曲げモーメント

右端曲げモーメント (kg·cm)

① 0.0 (0.0)

10.99 (10.99)

② -10.99 (-10.99)

0.0

部材 左端せん断力

右端せん断力 (kg.)

① 0.067 (0.067)

-0.5 (-0.5)

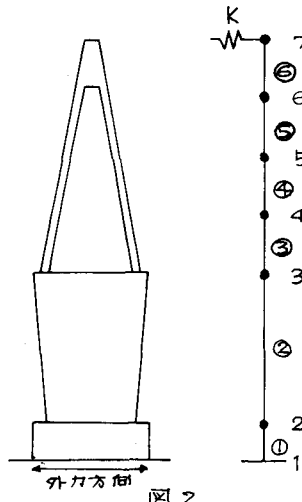
② -0.5 (-0.5)

0.067 (0.067)

基礎係数  $k = 1 \text{ kg/cm}^2$  部材長  $L = 100 \text{ cm}$

剛性係数  $EI = 10^6 \text{ kg cm}^2$  荷重  $P = 1 \text{ kg}$

#### (2) 盛岡市から橋(歩行者、自転車専用斜張橋)の応答地震応答解析

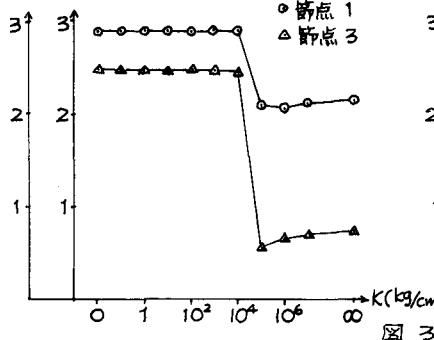


一般図と力学モデルを図2で示す。また質点重量、剛性係数、部材長を以下に示す。

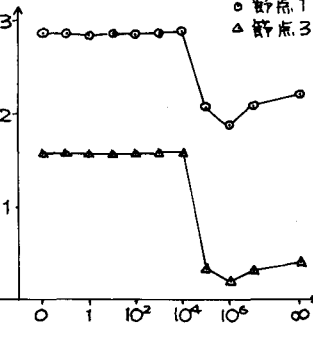
質点重量 (kg)	剛性係数 ( $\text{kg} \cdot \text{cm}^2$ )	部材長 (cm)
$m_2 = 313910$	$EI_2 = 0.717 \times 10^{16}$	$L_2 = 220$
$m_3 = 145657$	$EI_3 = 0.113 \times 10^{16}$	$L_3 = 980$
$m_4 = 1414$	$EI_4 = 0.738 \times 10^{14}$	$L_4 = 421$
$m_5 = 1414$	$EI_5 = 0.380 \times 10^{14}$	$L_5 = 421$
$m_6 = 1746$	$EI_6 = 0.128 \times 10^{14}$	$L_6 = 421$
$m_7 = 1039$	$EI_7 = 0.426 \times 10^{13}$	$L_7 = 300$

外力は  $EI$ , Centro 地震波(最大加速度  $\pm 62 \text{ gal}$  程度)を用い、減衰係数  $\eta = 0.02$  とし、2秒間入力した。このとき、塔頂ばね定数  $K = E/C$  が無限大まで変化させた場合の節点1および節点3の曲げモーメント、およびせん断力応答の各最大値を図3で示す。左図からわかる通り、ばね

節点1 3 曲げモーメント ( $\text{kg cm}$ )  
( $\times 10^6$ ) ( $\times 10^6$ )



節点1 3 セン断力 ( $\text{kg}$ )  
( $\times 10^4$ ) ( $\times 10^3$ )



定数の大きさはうちには応答値に比例して変化せず、 $K = 10^4 \sim 10^5$  付近で変化が著しくなる。また、節点6、7などの塔頂附近ではばね定数の変化による応答値の変化が大きい。